# Ultra Luminous X-ray source の異なる スペクトル状態における新たな描像

#### 小林翔悟

中澤知洋A、牧島一夫B

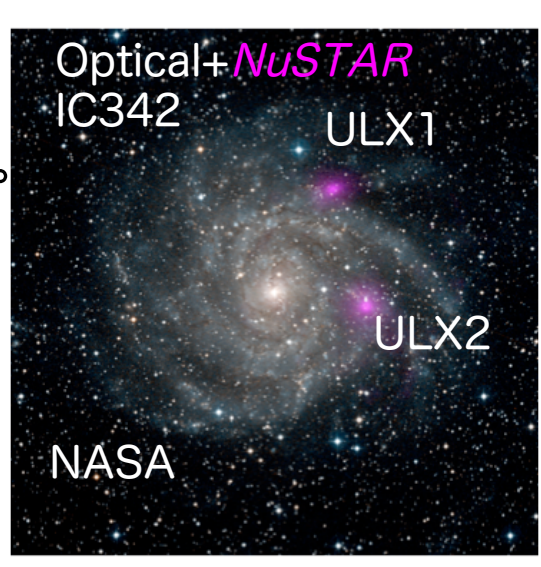
A:東大理

B:理研

## Ultra Luminous X-ray source

#### ◆特徴

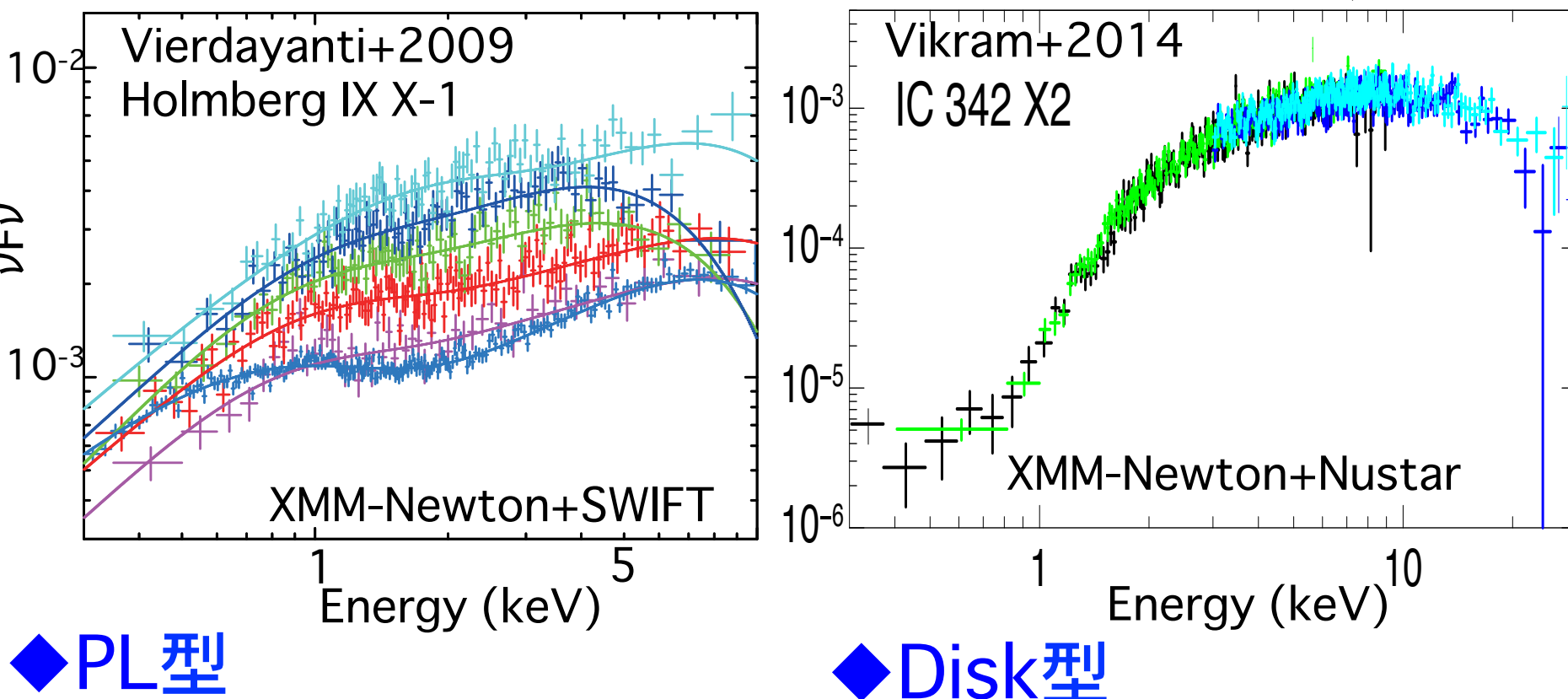
- 渦巻き銀河の腕に存在するX線で異常に明るい点源天体。
  - $L_X > 10^{39.5-41}$ erg/s >>  $L_{Edd}$  10  $M_{\odot}$  ブラックホール。
- 質量降着するブラックホール(BH)と考えられている。
- <u>L<sub>X</sub> ≤ L<sub>Edd</sub> な中間質量(100-1000 M<sub>●</sub>) BH (牧島+00)</u>
- L<sub>x</sub> >> L<sub>Edd</sub>な恒星質量(10 M<sub>®</sub>) BH (嶺重+07)
- 光学主星の観測が困難なため、X線によるスペクトル分 光が重要となる。



#### ◆X線スペクトル

- 2つの異なるスペクトル状態を持ち、光度とともにその間を遷移。
  - 上に凸で丸い形をしたDisk型と、冪的に伸びるPL型。
  - 光度の上昇とともにDisk型へと遷移。
- これらは異なるモデルでこれまで解釈されてきたが、本研究では両者に共通な モデルを採用することで、ULXの統一的な描像を模索する。

## ULXのスペクトル状態と特徴



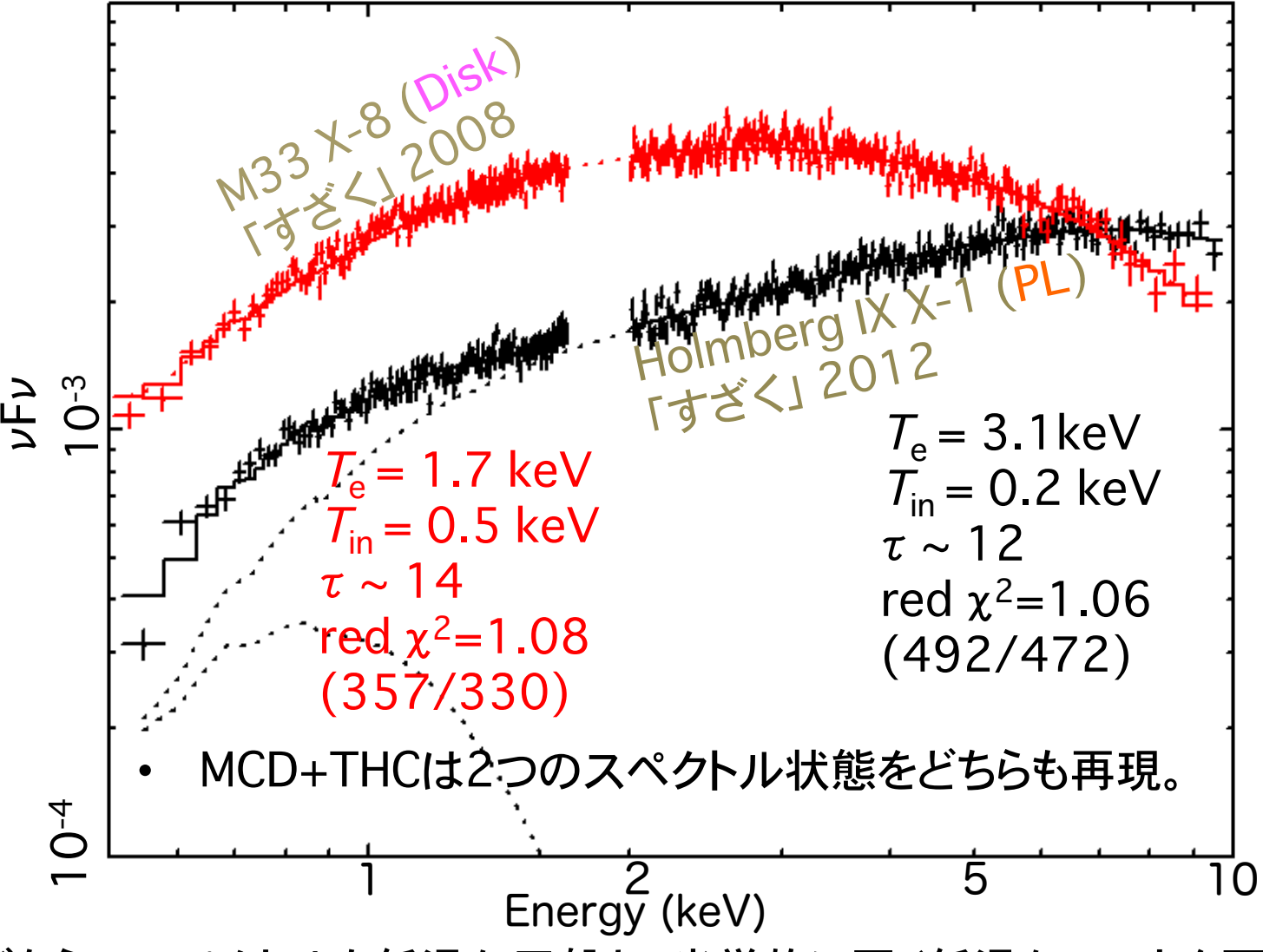
#### ◆PL型

- *Γ*~1.8で冪的に伸びつつ, ~8 keVで折 れ曲がる。
- ~1keVに若干の盛り上がり。
- Multi-Color Disk (MCD) + 熱的 Comptonization (THC)でよく再現。

#### PL状態よりも明るく、上に凸な形状。

- しばしばSlim diskモデルで解釈され るが、宮脇+09に倣いTHCモデルを 採用。

### 「すざく」で得られたULXスペクトル



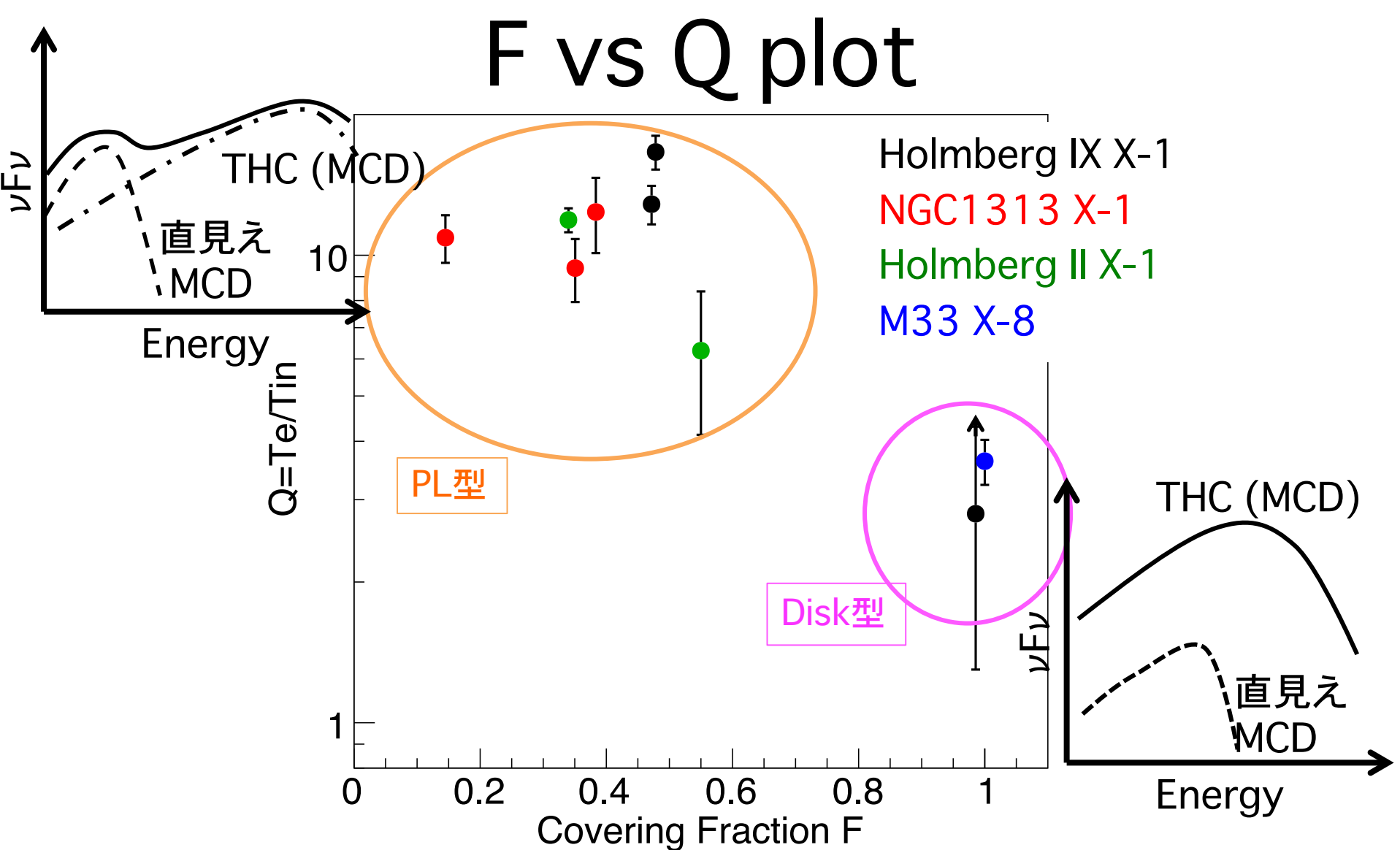
- どちらのスペクトルも低温な円盤と、光学的に厚く低温なコロナを要求。
- 何がスペクトル形状を区別するのか?

## Disk型 VS PL型

 $F=1-L_{direct}/L_{disk tot}$ : コロナに覆われている円盤の光度の割合 *Q*≡ *T<sub>e</sub>*/ *T<sub>in</sub>*: 対数的な温度の差 νΕν 0-3 直に見えている 円盤成分  $T_{\rm e}/|T_{\rm in.}^{\cdot}| = 3.6$ L<sub>direct</sub>  $T_{\rm e}/T_{\rm in} = 12.9$ 

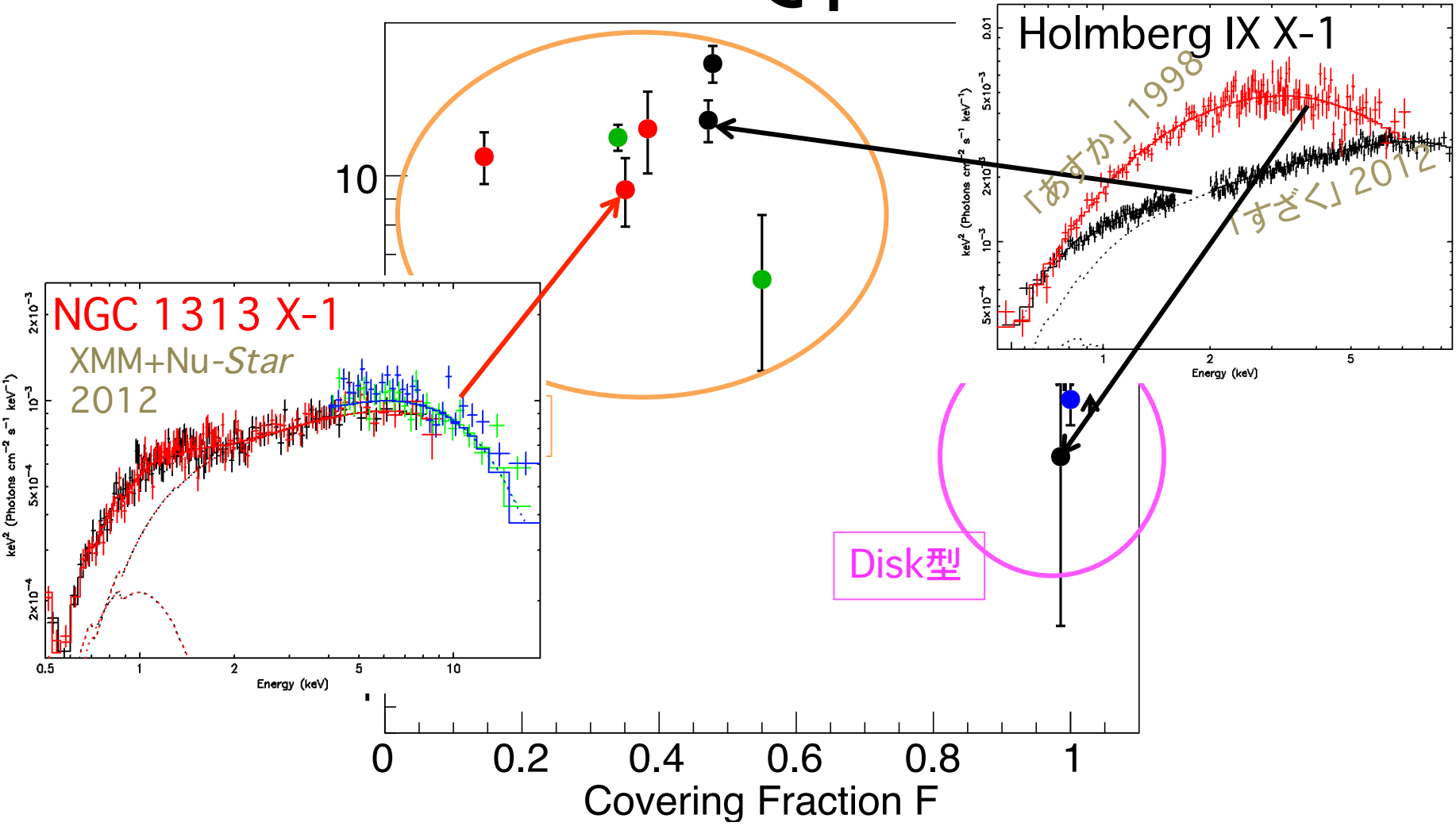
• 新しいパラメタ F 、 Q がULXのスペクトル形状をよく特徴付ける。

Energy (keV)



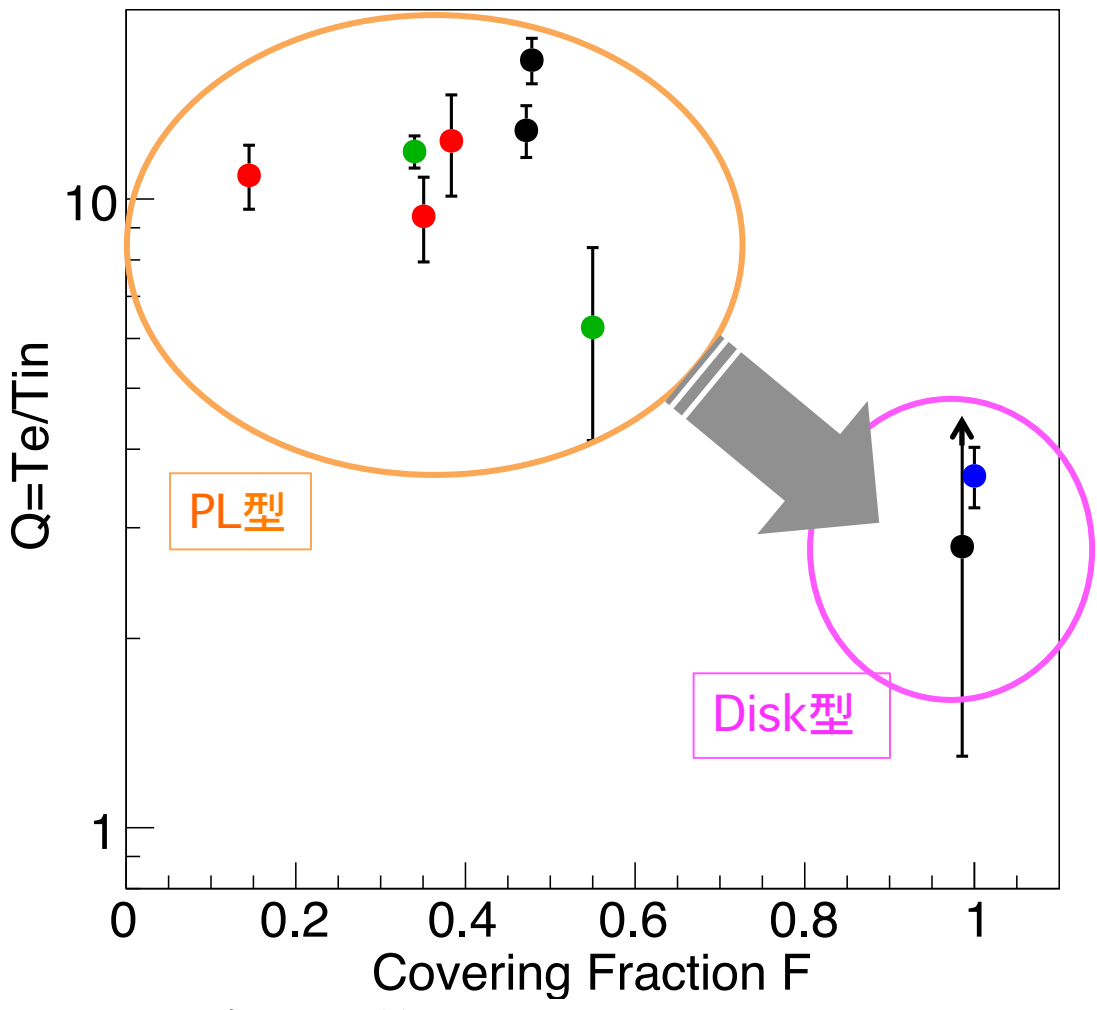
- Disk型は(F,Q)~(1.0,3)に分布する一方で、PL型は(F,Q)~(10,0.4)に分布。
- 2つのスペクトル状態が(F,Q)平面上で明確に区別することに成功。

F vs Q plot



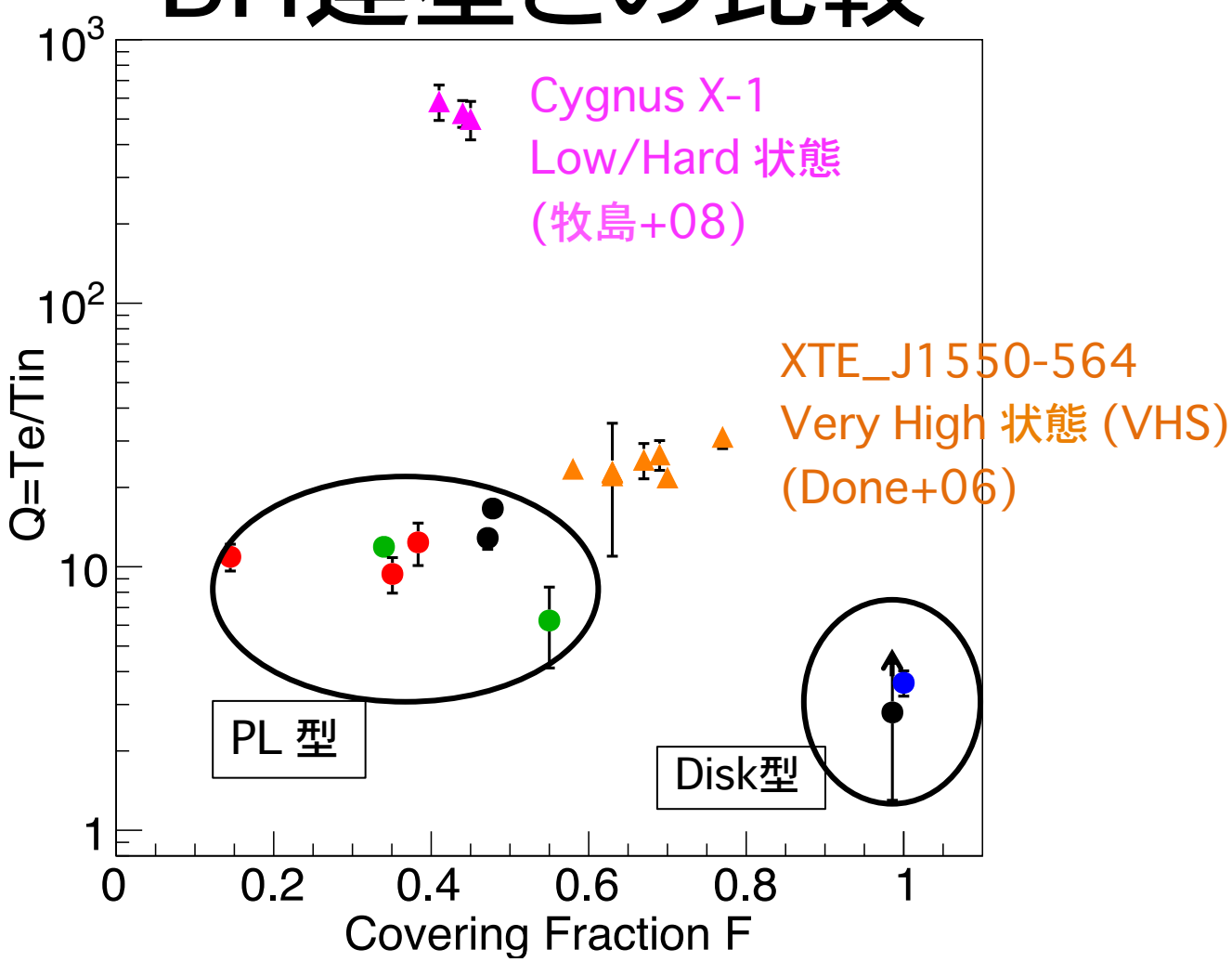
- Disk型は(F,Q)~(1.0,3)に分布する一方で、PL型は(F,Q)~(10,0.4)に分布。
- 2つのスペクトル状態が(F,Q)平面上で明確に区別することに成功。

## BH連星との比較

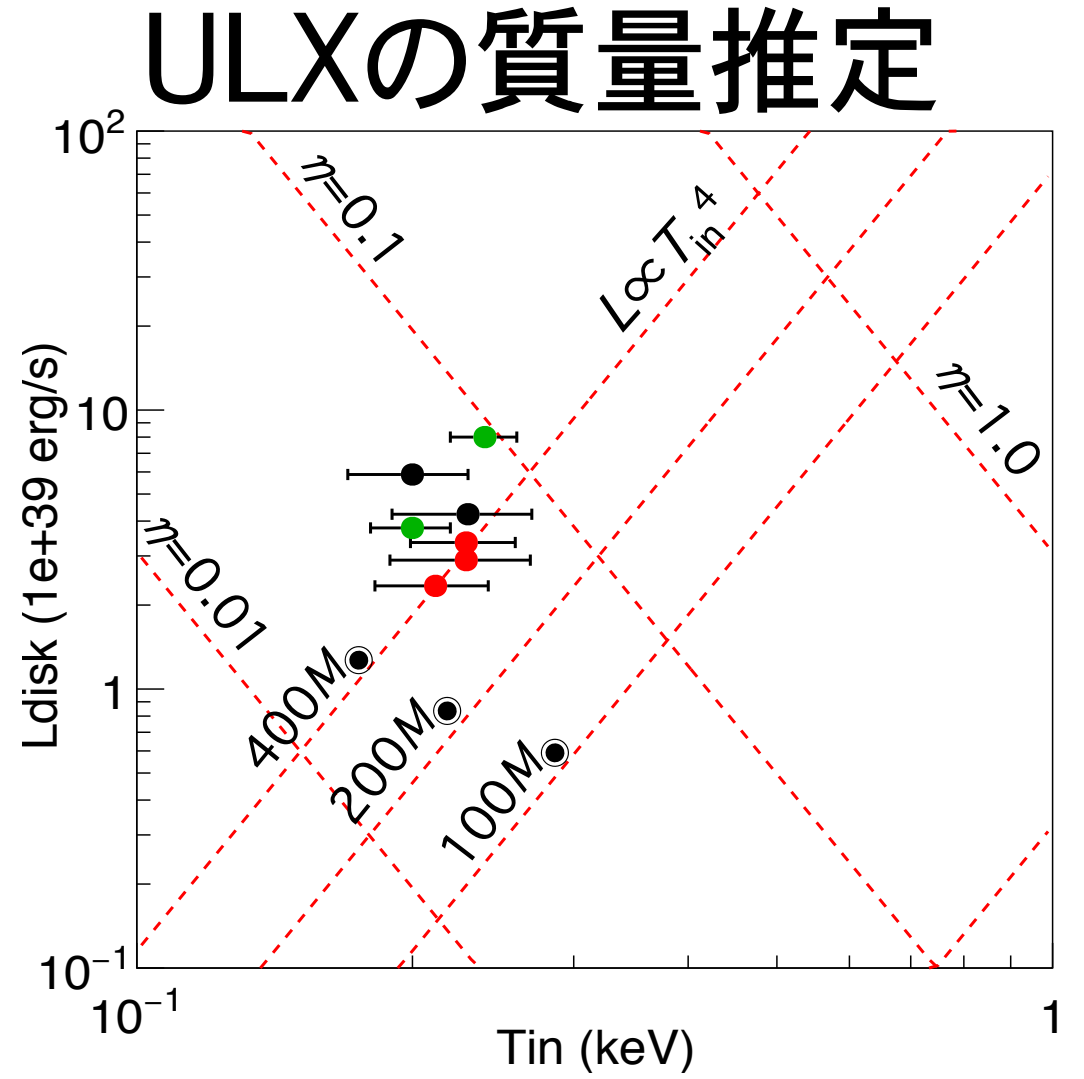


- PL型→Disk型で円盤は次第にコロナに覆わていくことが示唆される。
- BH連星のスペクトル状態も同様に(F,Q)平面上で区別可能。
- PL型はBH連星のVHSと同程度の(F,Q)を持つ。

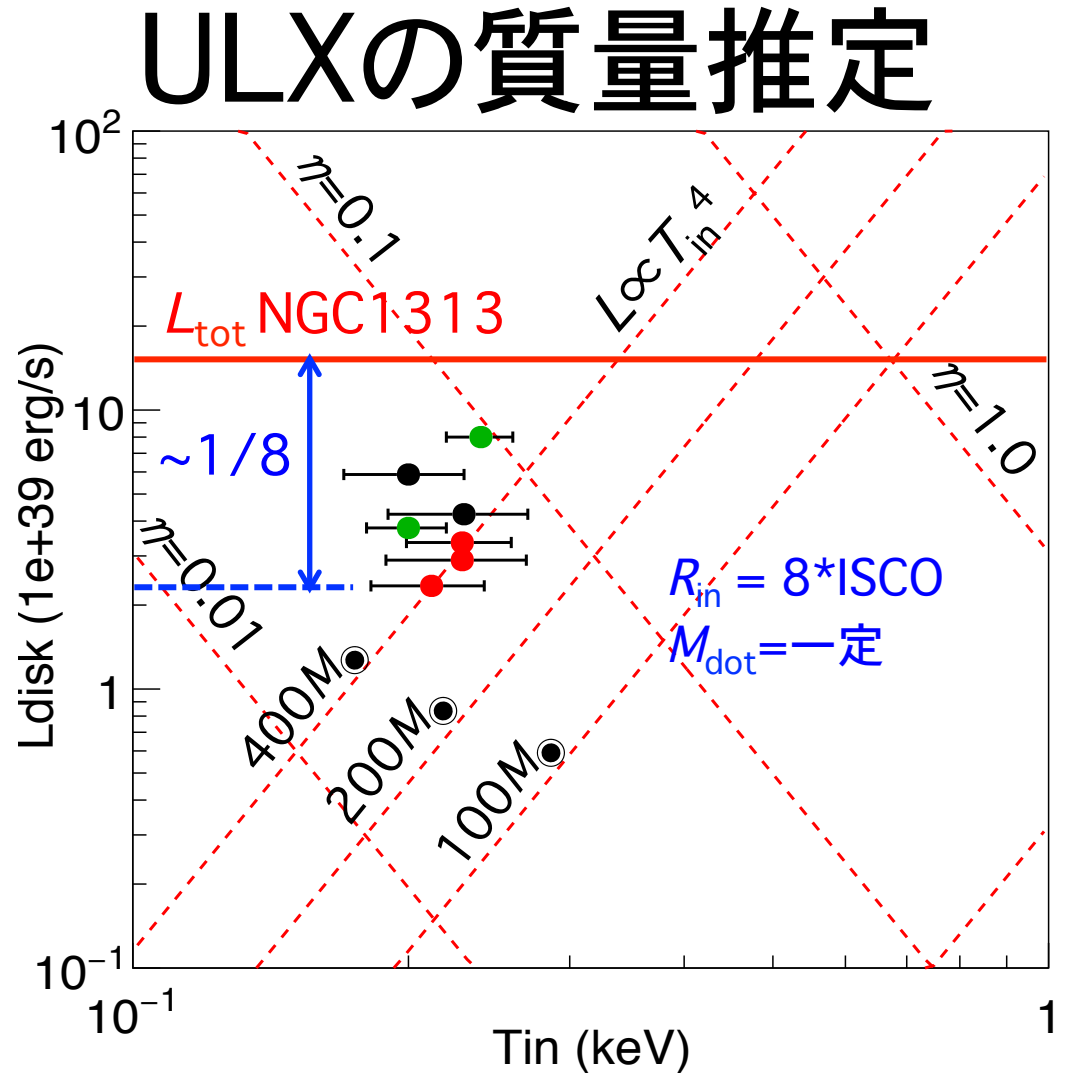
## BH連星との比較



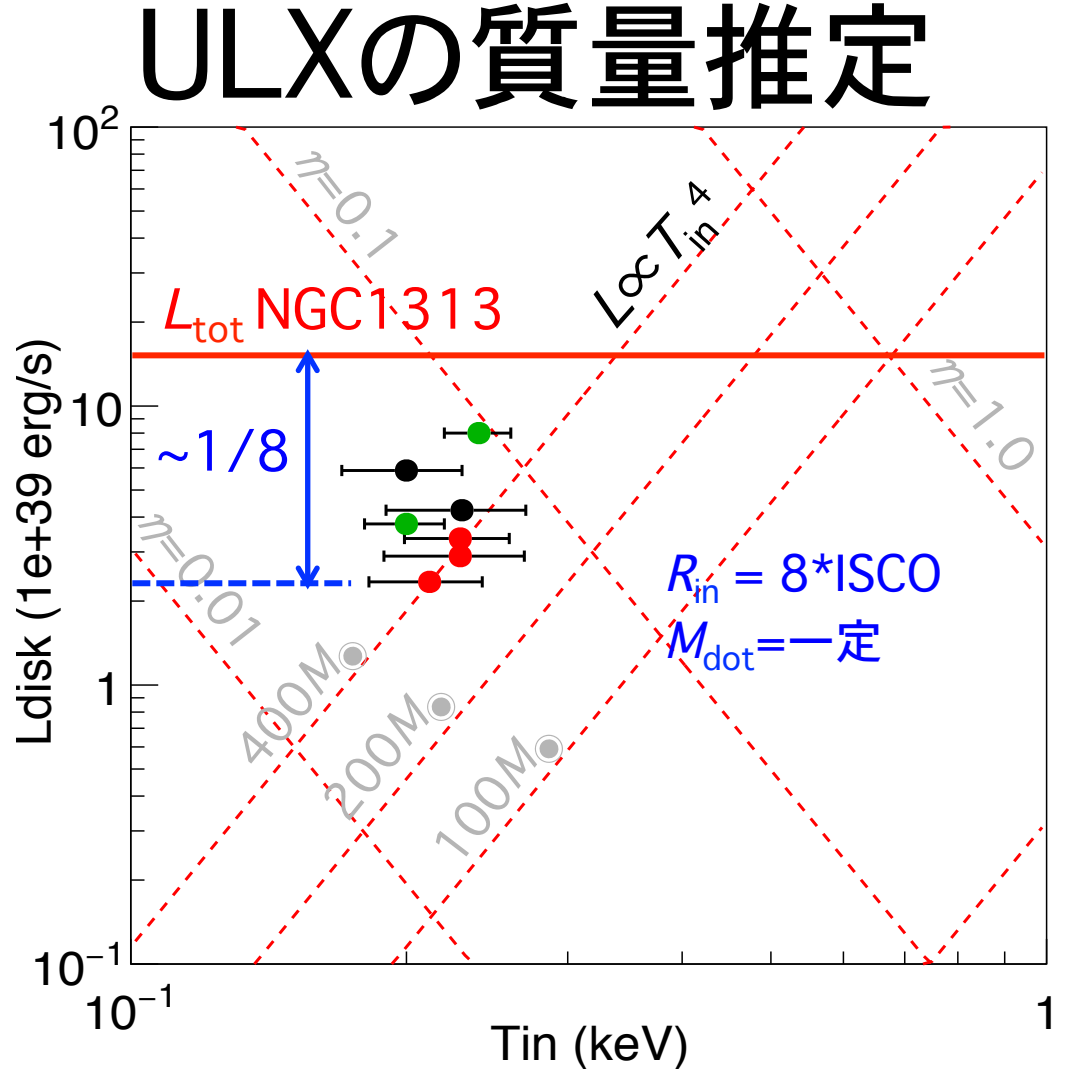
- PL型→Disk型で円盤は次第にコロナに覆わていくことが示唆される。
- BH連星のスペクトル状態も同様に(F,Q)平面上で区別可能。
- ・ PL型はBH連星のVHSと同程度の(F,Q)を持つ。



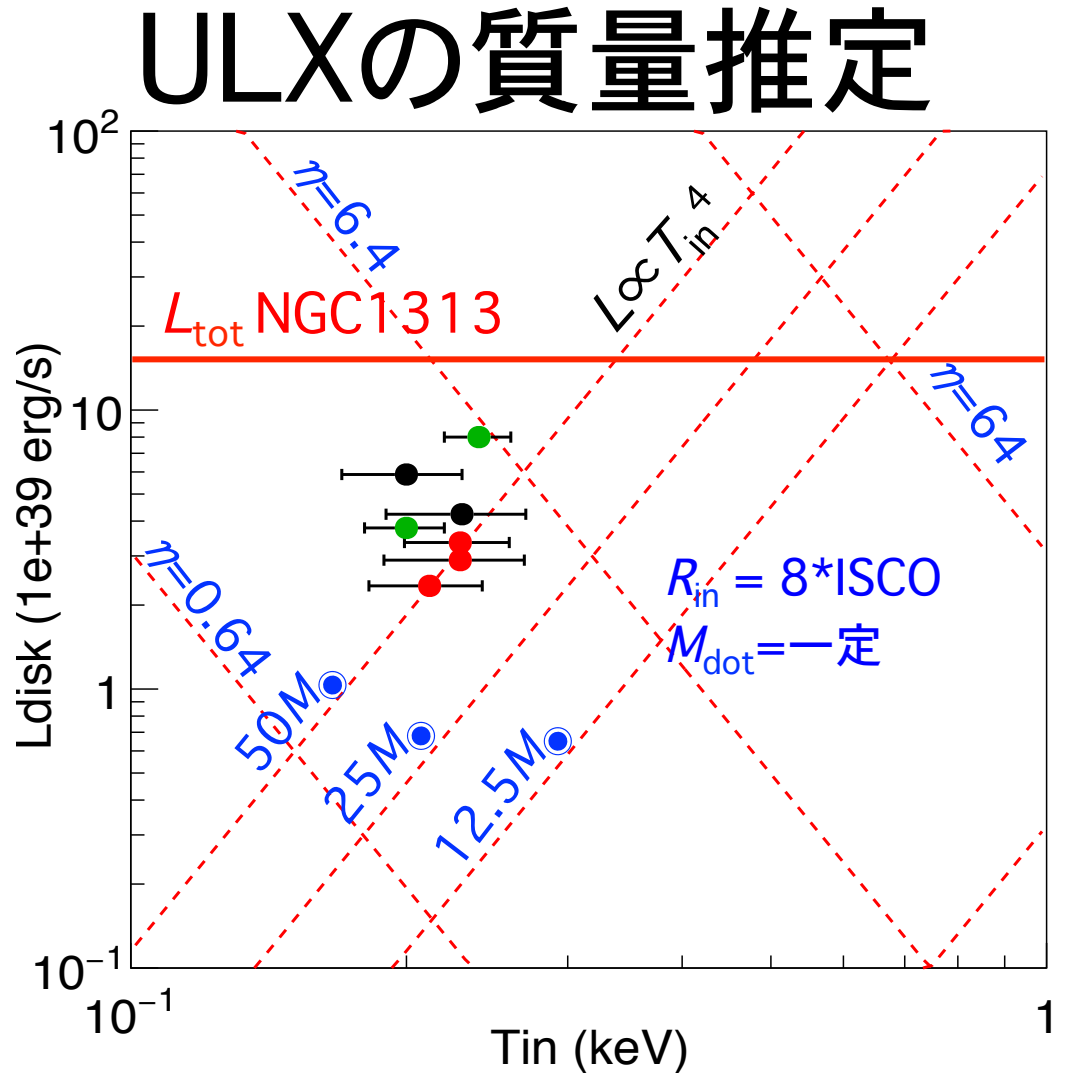
- R<sub>in</sub>が最内縁安定軌道(ISCO)であるならば、ULXはM~400 M<sub>●</sub>, η~0.1。
- $R_{\text{in}} > \text{ISCO}$ であったとしても、ULXは $M \sim 50~M_{\odot}$ , $\eta \sim 2$ と、やや大きなMをもつBHと無矛盾。



- R<sub>in</sub>が最内縁安定軌道(ISCO)であるならば、ULXはM~400 M<sub>●</sub>, η~0.1。
- $R_{\text{in}} > \text{ISCO}$ であったとしても、ULXは $M \sim 50~M_{\odot}$ , $\eta \sim 2$ と、やや大きなMをもつBHと無矛盾。



- R<sub>in</sub>が最内縁安定軌道(ISCO)であるならば、ULXはM~400 M<sub>●</sub>, η~0.1。
- $R_{\text{in}} > \text{ISCO}$ であったとしても、ULXは $M \sim 50~M_{\odot}$ , $\eta \sim 2$ と、やや大きなMをもつBHと無矛盾。



- R<sub>in</sub>が最内縁安定軌道(ISCO)であるならば、ULXはM~400 M<sub>●</sub>, η~0.1。
- $R_{\text{in}} > \text{ISCO}$ であったとしても、ULXは $M \sim 50~M_{\odot}$ , $\eta \sim 2$ と、やや大きなMをもつBHと無矛盾。

## 結論

- ULXのX線スペクトルはその状態に関係なくMCD+THC モデルでよく再現された。
- 新たなパラメタ $Q=T_e/T_{in}$ と $F=1-L_{raw}/L_{disk}$ を導入することでULXのスペクトル状態をBH連星と同様に特徴づけることに成功した。
- 得られた降着円盤のパラメタから、ULXは50-400 M<sub>●</sub>
  のBHとして解釈することができる。